ENVIRONMENTAL SCIENCE

第44卷 第11期 2023年11月15日

目 次

基于机器学习方法研究气象及排放变化对长三角地区主要城市大气污染物的影响	
一样文星,黄琳,丁嘉豪,秦墨梅,于兴娜,谢放尖,胡建林(587)。 不同行业减排对我国东部地区空气质量及大气温度的影响····································	19)
不同行业减排对我国东部地区空气质量及大气温度的影响 龙籽谕,朱佳,李柯,陈磊,杜楠,廖宏(588	39)
冬奥会期间京津冀及周边区域空气质量时空特征、气象影响和减排效果评估) 9)
中国印刷业 VOCs 排放趋势及未来减排潜力	15)
济南中典型行业 VOUs 排放符值及碱排管刀分析	24)
用京市深水区大气挥及性有机物污染特征及米源解析 ····································	53)
我国近10 年城市生活垃圾处直单儿温至气体排放的至变化及碱排浴能分析	16)
中国重点城市大气污染与健康风险的时空分布特征	HO)
·····································	54)
中国 PM 浓度时空转征及其与 AOD 的相关性分析(2014~2017年)	,-, 54)
中国 PM_1 浓度时空特征及其与 AOD 的相关性分析($2014\sim2017$ 年)	75)
周口市 2022 年冬季重污染过程中细颗粒物污染特征及成因分析	,
几英职 权愿 从唐士 几古 乔利亚 日白岭 用子魚 权证化 职县 八十化 防卫奸 防兴安 採見芒 共止 (50g	36)
一一一一一一一一一一一一一一一一一一一一一一一一一一一一一一一一一一一一一	97)
北京市门头沟区大气降尘污染特征及其化学组分特征与质量重构 王志垚、姚琦、吕富、王雨薇、王珊、王铮、胡月琪(600)7)
典型热带海滨城市臭氧污染特征与成因分析	
珠江源块泽河流域地表水水化学特征及控制因素 陶兰初,寸得欣,涂春霖,马一奇,刘振南,尹林虎,和成忠,庞龙,张七道(602	25)
淮南煤矿区地表水和地下水水化学特征及控制因素 刘海,康博,管政亭,宋阳,柴义伦 (603	38)
淮南煤矿区地表水和地下水水化学特征及控制因素····································	50)
- 滇池周边浅层地下水硝酸盐来源及转化过程识别 · · · · · · · · · · · · · · · · · · ·	52)
典型铅锌矿流域土壤重金属累积与分布的影响因素分析	71)
铅锌矿周边岩溶流域重金属污染及健康风险评价 廖红为, 蒋忠诚, 周宏, 覃小群, 黄奇波, 吴华英 (608	35)
一 <u>十封市主要河道沉枳物重金属时空分布特征及生态风险评价 … 丁亚鹏,卢希昊,王晓婧,武锟鹏,张浩杰,季欢,付贤志,王洪涛(609</u>	95)
霍邱县城湖泊沉积物重金属环境容量评价与预测 ····································)6)
基于宏条形码技术的白洋淀水华藻类识别及其驱动因子分析	(6)
基于种群、功能群对比分析洞庭湖浮游植物群落驱动因素及水质评价 … 严广寒,殷雪妍,汪星,黄民生,黄代中,王思瑞,张韵宇(612	25)
南水北调东线山东境内调蓄湖库蓝藻种群分布特征及环境驱动因子	
	37)
紫外老化微塑料衍生 DOM 理化特性及其与磺胺嘧啶、铜的络合机制 王筱,晏彩霞,聂明华,莫茜婷,丁明军,徐鏊雪,邓思维(615	
共混塑料在海水中的光降解及海洋环境风险 张洪瑜,高嘉蔚,陈思宝,林千惠,葛安琪,赵莎莎,郑浩,李锋民(617	/2)
铁改进型蓝藻生物炭的制备及对地表水中磷的协同吸附机制 韩杰,黄鑫,杨昆仑,宋超凡,缪恒锋(618	31)
基于改进输出系数模型的非点源污染评估及关键源区识别:以北运河上游流域为例	M)
农村黑臭水体沉积物细菌群落结构特征 ····································)4))5)
《八杰吴小评儿代初细图研洛年的行征 ····································	JO)
气候变化背景下人类活动对承德接坝区植被净初级生产力的影响 单振东,刘顿,骆汉,刘建伟,张丽梅,魏宇航(621 氦沉降对陆地生态系统土壤有机碳含量影响的 Meta 分析 杨灵芳,孔东彦,刁静文,郭鹏(622	15)
生物炭施用 5 a 后对桂北桉树人工林土壤有机氮组分和活性氮的影响····································	20)
生物 然他们 5 a 们 对 程 记 设 两 八 工 你 工 袋 有 化 氨 宝 为 和 们 住 威 的 影 啊	35)
稻田微氧层和还原层土壤有机碳矿化对氮素添加的响应	15)
	18)
保护性耕作对玉米田土壤中除草剂残留的影响	57)
土壤中微塑料对陆生植物的毒性及其降解机制研究进展 刘微,李宇欣,荣飒爽,汪晚晴,王鑫鑫,郭嘉朋,韩冰,王树涛(626	57)
南水北调丹江口库区土壤中微塑料分布特征及风险评估 王峰, 公玮, 刘哲, 朱重宁, 张润琴, 李志国, 刘毅 (627	79)
北京市城市公园土壤铅累积特征、来源及健康风险 安江梅朵,张瑞卿,郭广慧,王云涛 (628	37)
锌冶炼废渣重金属在地块土壤中的垂向迁移特征及归趋 杨爱萍, 王小燕, 肖细元, 王倩如, 胡建华, 郭朝晖, 彭驰 (629)7)
典型硫铁矿区农田土壤-作物系统重金属生态风险及迁移富集特征 成晓梦, 赵辰, 吴超, 孙彬彬, 曾道明, 贺灵 (630)9)
不同土壤-小麦体系中铅镉交互作用与转运特征 寇萌, 樊宇, 苏梦贤, 熊娟, 汪明霞, 谭文峰 (631	19)
开花后小麦地上部镉、砷分布及其转运特征 王秋实,华桂丽,李翔宇,冯柳旭,睢康鑫,耿丽平,薛培英,刘文菊 (632	10
黑河上游不同植被类型土壤细菌群落多样性、功能及季节动态 王竹,刘扬,王芳,王义成(633	
	39)
典型煤炭产业园区土壤重金属污染对细菌群落结构的影响 郑丹凤, 刘娣, 苏超, 张红 (635	39) 54)
典型煤炭产业园区土壤重金属污染对细菌群落结构的影响 ····································	39) 54) 52)
典型煤炭产业园区土壤重金属污染对细菌群落结构的影响	39) 54) 52) 77)
典型煤炭产业园区土壤重金属污染对细菌群落结构的影响	39) 54) 62) 77)
典型煤炭产业园区土壤重金属污染对细菌群落结构的影响 郑月凤,刘娣,苏超,张红(635) 增氧模式对水稻根际微生物多样性和群落结构的影响 肖德顺,徐春梅,王丹英,陈松,褚光,刘元辉(636) 紫色土硝化势和氨氧化微生物群落对化肥和有机肥配施生物炭的响应 李越,王子芳,贾丽娟,谢军,熊子怡,高明(637) 连作对党参根际土壤理化性质、微生物活性及群落特征的影响 杨阳,李海亮,马凯丽,虞凡枫,牛世全(638) 娄肥施用对抗生素在土壤上吸附的影响 罗珊,胡锦昇,唐翔宇,耿春女,程建华(639)	39) 54) 52) 77) 37)
典型煤炭产业园区土壤重金属污染对细菌群落结构的影响 郑月凤,刘娣,苏超,张红(635)增氧模式对水稻根际微生物多样性和群落结构的影响 肖德顺,徐春梅,王丹英,陈松,褚光,刘元辉(636)紫色土硝化势和氨氧化微生物群落对化肥和有机肥配施生物炭的响应 李越,王子芳,贾丽娟,谢军,熊子怡,高明(637)连作对党参根际土壤理化性质、微生物活性及群落特征的影响 杨阳,李海亮,马凯丽,虞凡枫,牛世全(638)娄肥施用对抗生素在土壤上吸附的影响 罗珊,胡锦昇,唐翔宇,耿春女,程建华(639)	39) 54) 52) 77) 37)
典型煤炭产业园区土壤重金属污染对细菌群落结构的影响	39) 54) 52) 77) 37)



淮南煤矿区地表水和地下水水化学特征及控制因素

刘海¹, 康博²*, 管政亭¹, 宋阳¹, 柴义伦³

(1. 安徽省公益性地质调查管理中心, 合肥 230091; 2. 合肥工业大学资源与环境工程学院, 合肥 230041; 3. 安徽省地质环境监测总站, 合肥 230001)

摘要:为厘清淮南矿区地表水和地下水水化学特征和控制因素,采集 115 组地下水和 30 组地表水样品,基于数理统计、Piper 三线图、Gibbs 图、矿物稳定场图和离子比例系数等方法,分析了淮南煤矿区地表水和地下水的水文地球化学特征,研究了其水化学特征演变规律.结果表明,淮南煤矿区地下水和地表水呈弱碱性,地表水和地下水中优势阴阳离子为 HCO_3^- 、 Ca^+ 和 Na^+ . HCO_3 -Ca 型和 HCO_3 - $Ca \cdot Na \cdot Mg$ 型为地表水和地下水的主要水化学类型. 地下水和地表水的水化学特征主要受岩石风化作用控制,阳离子交替吸附和蒸发对其有一定的促进作用. 水岩作用以硅酸盐和碳酸盐矿物的溶解为主,碳酸盐岩的溶解制约 Ca^{2+} 、 Mg^{2+} 和 HCO_3^- 等离子的变化. 地表水和地下水中 Cl^- 、 SO_4^{2-} 、 NO_3^- 和 Ca^{2+} 受人类活动造成的外源输入影响. 淮南煤矿区地下水和地表水水化学组分受到水岩相互作用和人类活动的双重影响,且地下水受人类活动影响较大.

关键词:淮南煤矿区;地下水;水文地球化学特征;水岩作用;控制因素

中图分类号: X143 文献标识码: A 文章编号: 0250-3301(2023)11-6038-12 DOI: 10.13227/j. hjkx. 202210277

Hydrochemical Characteristics and Control Factors of Surface Water and Groundwater in Huainan Coal Mine Area

LIU Hai¹, KANG Bo²*, GUAN Zheng-ting¹, SONG Yang¹, CHAI Yi-lun³

(1. Public Geological Survey Management Center in Anhui Province, Hefei 230091, China; 2. College of Resources and Environment Engineering, Hefei University of Technology, Hefei 230041, China; 3. Geo-environment Monitoring Station of Anhui Province, Hefei 230001, China)

Abstract: To clarify the hydrochemical characteristics and control factors of surface and underground water in Huainan mining area, 115 groups of groundwater and 30 groups of surface water samples were collected, and the hydrogeochemical characteristics of surface water and groundwater in Huainan mining area were analyzed. Additionally, the hydrochemistry evolution law was discussed by comprehensively using mathematical statistics, the Piper triangular diagram, Gibbs diagram, mineral stability field diagram, and ion ratio relationship, etc. The results showed that the groundwater and surface water in the study area were weakly alkaline, the dominant anion was HCO₃⁻, and the dominant cations were Ca⁺ and Na⁺. The hydrochemical types of groundwater and surface water were dominated by HCO₃-Ca type and HCO₃-Ca·Na·Mg type, respectively. The hydrochemical composition of groundwater and surface water was mainly controlled by rock weathering, as well as by alternating adsorption of cations and evaporation concentration. Silicate and carbonate minerals were mainly dissolved in the water-rock interaction. The main ions such as Ca²⁺, Mg²⁺, and HCO₃⁻ came from the dissolution of carbonate rocks. The Cl⁻, SO₄²⁻, NO₃⁻, and Ca²⁺ were affected by exogenous inputs caused by human activities. The chemical components of groundwater and surface water in Huainan coal mining area were affected by water-rock interactions and human activities, and groundwater was greatly affected by human activities.

Key words: Huainan coal mine area; groundwater; hydrogeochemical characteristics; water-rock interaction; controlling factors

地下水和地表水是区域水文循环的重要组成部分,水资源是居民饮用、农业灌溉和工业生产等重要来源^[1].但受全球气候变化、城镇化高速发展和人类生产活动等多重因素的影响^[1-4],地下水和地表水环境正遭受严峻挑战,水资源与环境问题日益严重.因此,弄清地下水和地表水化学特征、形成演化机制,对水资源开发利用的具有重要意义^[5].以往的研究发现,地下水和地表水化学形成受地质构造、地层岩性、气候环境和人类活动等多种因素的共同影响^[6-10],开展地下水和地表水化学特征和控制因素研究,厘定地下水和地表水的赋存环境、径流途径和物质交换等重要信息,可以揭示地下水和地表水的起源和形成演化机制^[11].

结合水文地质学、水文地球化学理论和水岩相 互作用等理论,采用数理统计分析,描绘 Piper 三线 图、Gibbs 图、Na 端元图和离子比例系数图等手段, 可以清晰地揭示地下水和地表水的起源和控制因素^[12~16]. 近年来,自组织映射神经网络(SOM)、聚类分析等机器学习分析方法也逐渐被用到地下水和地表水形成和演化的研究当中,具有较好的应用前景^[17,18]. 淮南煤矿区位于淮南煤田东部,主体位于淮河中游南岸及其东部(图1). 目前,淮南煤矿区地下水关注重点在煤矿开采深层地下水^[19~22]. 如汪子涛等^[20]研究了淮南煤田主要突水含水层的水化学空间分布及其形成作用; 黄望望等^[21]研究了淮南新集矿区砂岩水和太灰水的离子组分和演化特征.前人的研究成果为深层水害防治提供强有力的理论和实践依据.

收稿日期: 2022-10-25; 修订日期: 2023-01-10

基金项目:安徽省自然资源厅公益性地质调查项目(2022-g-1-16) 作者简介:刘海(1984~),男,博士,主要研究方向为地下水水文地 球化学,E-mail: 103304365@qq.com

* 通信作者,E-mail:kangbol3@ mails. jlu. edu. cn

关于淮南煤矿区浅层地下水或地表水等方面的研究较少,尤其缺乏淮南煤矿矿区地表水和地下水水化学特征及控制因素等方面的系统研究.研究区水资源主要来源于地下水和地表水,目前研究成果不足以支撑地下水的开发利用和保护.鉴于此,根据研究区水文地质条件,基于水文地球化学理论,采用数理统计、图解法和离子比值等手段,以淮南煤矿区地下水和地表水为研究对象,阐明其水化学特征和演化机制,以期为煤矿区地下水和地表水资源合理开发利用和保护提供科学依据.

1 研究区概况

淮南煤矿区行政区域涉及安徽省淮南、阜阳和 蚌埠共3市5区3县(图1),矿区面积约2800 km². 煤矿区位于我国南北气候过渡带,年平均温度11~ 14℃,多年平均降雨量600~1400 mm,多年平均蒸 发量800~1200 mm^[23]. 区内地表水体发育,较大的河流主要为淮河及其支流颍河、泥河、西淝河和黑河等,均属淮河水系. 地处淮河中下游以北,属淮河冲积平原,地势平坦,自西北向东南缓倾.

淮南煤矿区内分布有煤炭、煤层气和地热等能源矿产,此外,石灰岩、白云岩和高岭土等非金属建材与化工矿产等矿产资源均有分布.研究区地层属华北地层大区晋冀鲁豫地层区徐淮地层分区淮南地层小区,除中元古界、志留系、泥盆系、石炭系下统、三叠系的中上统和侏罗系缺失外,其余地层均有不同程度的发育^[23].

研究区含水系统包括松散岩类孔隙含水系统、碳酸盐岩裂隙岩溶含水系统和碎屑岩类孔隙裂隙含水系统(图2).其中松散岩类孔隙含水系统由第四系和新近系松散堆积物组成,富水性较好;碳酸盐岩裂隙岩溶含水系由寒武系、奥陶系和石炭系碳酸盐岩组成,富水性较好;碎屑岩类孔隙裂隙含水系

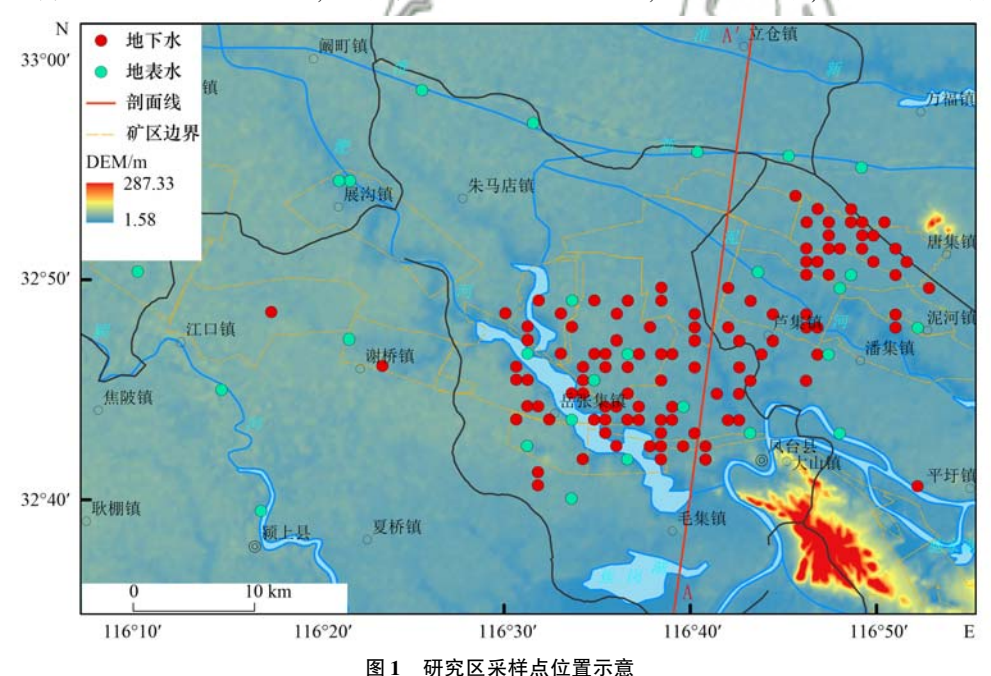


Fig. 1 Location of the sampling points in the study area

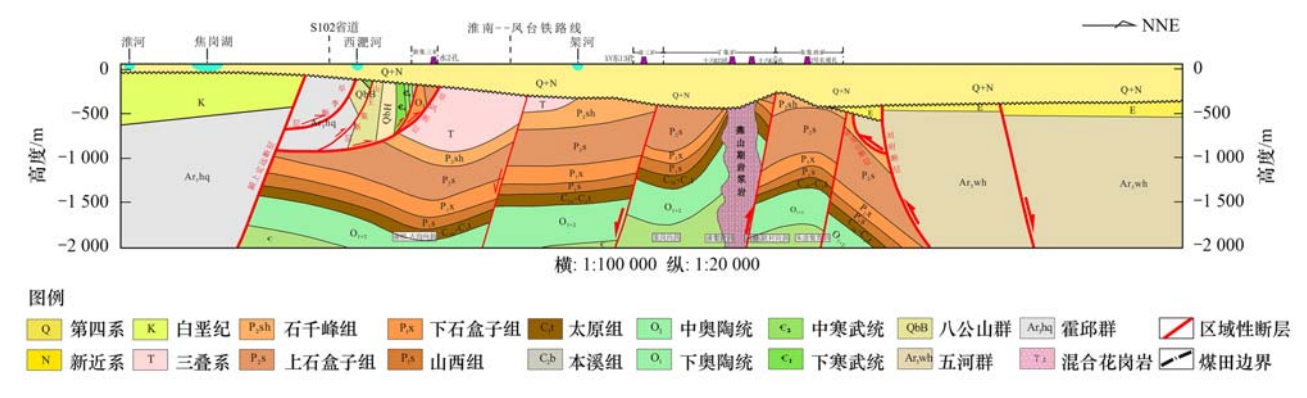


图 2 研究区 A-A'水文地质剖面

Fig. 2 A-A' hydrogeological profile of the study area

统由石炭和二叠纪的碎屑岩组成,岩性以泥岩、砂岩和页岩等组成,富水性较差^[23].地下水接受大气补给,淮河为最低排泄.

2 材料与方法

2.1 样品采集与测试

2016年10~11月在淮南煤矿区采集水样品145组,其中地下水水样115组,地表水水样30组(图1).地下水样品取自研究区住户的供水井和农田灌溉井等,井深7~50m;地表水样品主要取自煤矿区周边的河流或湖泊.

使用 SD150 型便携式多参数水质测试仪现场测定 pH 和 TDS 等参数. 每组样品用两个聚乙烯塑料瓶采集,采集前用离子水冲洗样品瓶至少 3 次. 测定水样中阳离子浓度的水样瓶体积为 500 mL,并在其中加入 1:1硝酸溶液以保证瓶内 pH < 2. 测定阴离子浓度的水样瓶体积为1 000 mL,不做 1:1硝酸处理. 水样品采集后 24 h 内送实验室进行测试. 所有测试均在国土资源部合肥矿产资源监督检测中心完成.

阳离子 K^+ 、 Na^+ 、 Ca^{2+} 和 Mg^{2+} 等采用电感耦合等离子体光谱仪(ICAP 6300 Duo)测试. 阴离子 Cl^- 、 SO_4^{2-} 和 NO_3^- 等使用离子色谱仪(Dionex-2500)检测; HCO_3^- 采用滴定法测定; H_2SiO_3 采用分光光度法测定. 所有离子的检测限为 0.01 $mg \cdot L^{-1}$,其测定误差一般低于 0.1%.

2.2 数据处理

运用 ArcGIS 10.8 软件绘制地下水采样点分布图,基于 SPSS 26.0 开展地下水水化学数据多变量统计分析,采用 Origin 2021 绘制 Piper 三线图、Gibbs 图、矿物稳定场图和离子比例图等相关图件.

3 结果与讨论

3.1 地下水和地表水水化学特征

3.1.1 主要离子水化学特征

研究区地下水 pH 值介于 7.27~8.26 之间(表 1),均值为 7.74,整体呈弱碱性; ρ (TDS) 在 204.98 ~1 278. 12 mg·L⁻¹之间,均值 568. 75 mg·L⁻¹,属淡 水. 各溶质组分浓度大小关系为: HCO3 > Ca2+ > $Cl^- > Na^+ > SO_4^{2-} > H_2SiO_3 > Mg^{2+} > NO_3^- > K^+$, 阴 离子以 HCO; 为主,占阴离子总量的质量分数为 75. 22%, 其次为 Cl⁻和 SO₄²⁻; 阳离子以 Ca²⁺为主, 占阳离子总量的质量分数为51.47%,其次为Na+. 地表水呈弱碱性,pH 值在 7.83~8.58 之间,均值为 8.14; ρ(TDS)整体与地下水差别不大,同属淡水, 介于 243.96~1029.66 mg·L-1之间,均值 558.54 mg·L-1;各溶质组分浓度关系与地下水存在偏差, 大小表现为: HCO₃ > Na + > Cl - > SO₄ - > Ca²⁺ > Mg²⁺ > H₂SiO₃ > K⁺ > NO₃⁻, 阴离子以 HCO₃⁻ 为主, 占阴离子总量的质量分数为 57.62%,其次为 Cl 和 SO₄²; 阳离子以 Na⁺为主,占阳离子总量的质量分 数为 40.60%, 其次为 Ca2+.

表 1 研究区地下水水化学特征统计1)

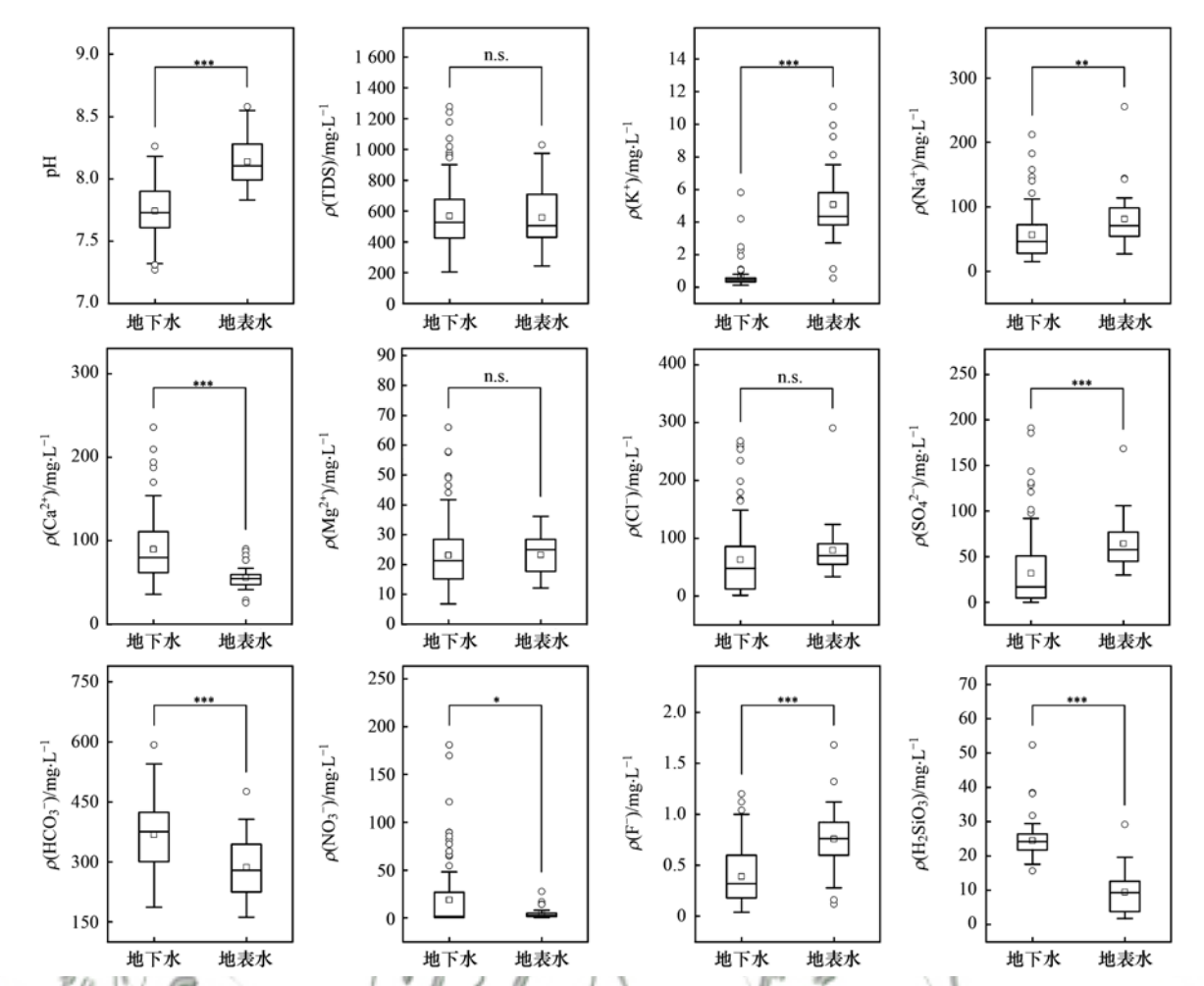
Table 1 Hydrochemistry statistical characteristics of various groundwater in the study area												
类型	项目	pН	TDS	K +	Na +	Ca ^{2 +}	Mg^{2} +	Cl -	SO_4^2 –	HCO_3^-	NO_3^-	$\mathrm{H}_{2}\mathrm{SiO}_{3}$
	Max	8. 26	1 278. 12	5. 81	212. 10	235. 87	65. 99	268. 00	191.16	592. 50	180. 97	52. 38
101. T . I.	Min	7. 27	204. 98	0.12	15.00	35.73	6.83	1.06	0.00	186. 21	0.50	15.63
地下水 (n=115)	Mean	7.74	568.75	0.59	56. 71	89.88	23. 10	63.06	31.51	368. 43	18.83	24. 50
(n = 113)	Std	0.20	209.06	0.69	36. 48	38. 01	11.01	64. 34	38.07	85. 34	31.67	4. 35
	CV	2. 64	36. 76	115.71	64. 32	42. 29	47. 65	102. 03	120.84	23. 16	168. 18	17. 75
地表水 (n=30)	Max	8. 58	1 029. 66	11.09	255. 75	90.00	36. 20	290. 69	168. 27	475. 44	27. 47	29. 11
	Min	7.83	243.96	0.56	27. 09	25. 33	12. 15	33.68	29.78	161.38	0.50	1.78
	Mean	8. 14	558. 54	5. 07	81. 36	55.88	23. 24	78. 87	64.02	286. 21	4. 85	9.49
(n-30)	Std	0. 20	183. 23	2. 29	43. 03	14. 97	6.75	45. 10	28.07	81.57	5.88	6. 12
	CV	2.42	32. 81	45. 24	52. 90	26. 78	29.06	57. 19	43.85	28. 50	121.22	64. 54

1) Max 表示最大值, Min 表示最小值, Mean 表示均值, Std 表示标准差; CV 表示变异系数, 单位%; pH 为无量纲; 其余成分单位为 mg·L-1

经 t 值检验,地表水中 pH、 K^+ 、 SO_4^{2-} 和 F^- 的含量显著高于地下水(P < 0.001,图 3). 地下水中的 Ca^{2+} 、 HCO_3^- 和 H_2SiO_3 的含量显著高于地表水(P < 0.001). 而地下水和地表水中的 TDS、 Mg^{2+} 和 Cl^- 的含量大体一致,差异不明显.

地下水阴阳离子的变异系数介于 23.16% ~ 168.18% 之间,空间变异性较大. K^+ 、 Cl^- 、 SO_4^2 和

NO₃ 这 4 种离子其变异系数均大于 100%,表明这些离子的空间分布差异明显,局部地区离子富集较高,可能受到农业活动和采矿活动等人类活动的影响^[2]. 地表水除 NO₃ 的变异系数超过 100% 外,其余离子的变异系数在 28.50%~57.19% 之间. 有研究表明,硝酸型水形成主要受城镇生活污水、农业生产施氮肥和各类垃圾渗滤液下渗等影响^[5,24],这



n. s. 表示显著性不明显, *** 表示在 0. 001 水平上显著, ** 表示在 0. 01 水平上显著, * 表示在 0. 05 水平上显著 图 3 地下水和地表水化学组分分布

Fig. 3 Distribution of chemical components of groundwater and surface water

表明研究区地下水和地表水均不同程度受到人类活 动的影响.

3.1.2 水化学类型

Piper 三线图不受人为因素影响,能够直观反映水体水化学的类型及演变 [25-27]. 由图 4 可知,研究区地下水和地表水阴离子以 HCO_3^- 和 SO_4^{2-} 为主,阳离子以 Ca^{2+} 和 Na^+ 为主. 其中地下水中阳离子以 Ca^{2+} 为主,Na⁺ 和 Mg^{2+} 次之,指示地下水中阳离子 主要来自于碳酸盐岩、硅酸盐岩和蒸发岩的风化溶解. 地表水中阳离子以 Ca^{2+} 为主,其次为 Na^+ ,阴离子主要位于 CO_3^{2-} + HCO_3^- 端元区域,指示地表水水化学组分多来自含钠岩石的风化溶解.

研究区地下水和地表水类型变化多样,按舒卡列夫式分类,地下水以 HCO_3 -Ca 型水为主,占32.17%,其次为 HCO_3 -Ca·Na(21.74%)、 HCO_3 ·Cl-Ca(13.04%)和 HCO_3 -Ca·Na·Mg(9.57%),水化学类型由 Cl-Ca·Na $\rightarrow HCO_3$ -Ca·Mg $\rightarrow HCO_3$ -Na 的逐渐演变趋势. 地表水以 HCO_3 -Ca·Na·Mg 为主,占40%,其次为 HCO_3 -Cl-Ca·Na(33.33%)和 HCO_3 -

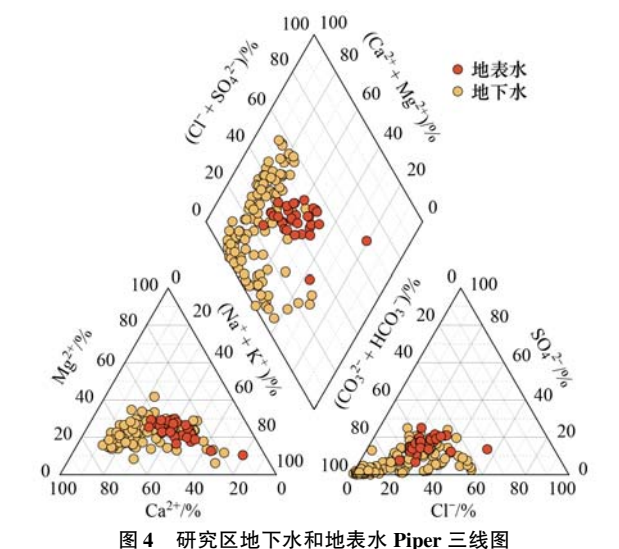


Fig. 4 Piper diagram of groundwater and surface water of the study area

Ca·Na(16.67%),水化学类型由 HCO₃-Ca →Cl-Na 逐渐演变趋势.

3.1.3 各离子组分间的相互关系

通过分析地下水或地表水水化学组分间的相关

关系,可以识别水化学中的不同离子组分是否为同一来源或具有相近的迁移转化途径^[28,29].一般情况下水体中 Cl^- 和 $SO_4^2^-$ 主要来源于蒸发岩的溶解, HCO_3^- 主要来自碳酸盐岩溶解; Ca^{2+} 和 Mg^{2+} 来源于蒸发岩、碳酸盐岩和硅酸盐岩溶解,而 Na^+ 和 K^+ 则来源于蒸发岩和硅酸盐岩的风化产物^[30].

从研究区地下水和地表水中各组分之间的相关系数矩阵可以看出(表 2),地下水中 TDS 与 Na $^+$ 、Ca $^{2+}$ 、Mg $^{2+}$ 、Cl $^-$ 、SO $_4^{2-}$ 和 HCO $_3^-$ 具有极显著的正相关性(P < 0.01),相关系数依次为 0.573、0.710、0.710、0.750、0.685 和 0.498. 表明这些离子对TDS 的贡献较大; HCO $_3^-$ 与 Na $^+$ 和 Mg $^{2+}$ 具有显著的正相关关系(P < 0.01),相关系数分别为 0.744 和 0.577,而与 Ca $^{2+}$ 相关性不明显,说明方解石(CaCO $_3$) 对水中 HCO $_3^-$ 的贡献较小; SO $_4^{2-}$ 与Ca $^{2+}$ 、Mg $^{2+}$ 和 Cl $^-$ 具有显著的正相关性(P < 0.01),相关系数分别为 0.636、0.606 和 0.600;说明蒸发岩对离子浓度具有较大的贡献;Cl $^-$ 与 Na $^+$ 、Ca $^{2+}$ 和 Mg $^{2+}$ 具有显著的相关性(P < 0.01),相关系数分别为 0.322、0.863 和 0.594,推断上述两者之

间具有相对一致的来源,可能是岩盐溶解或是源于人类污染,值得注意的是, Cl^- 和 NO_3^- 具有显著的正相关性,相关系数达 0.658 (P < 0.01),考虑到 NO_3^- 主要为人类活动污染产生,推断 Cl^- 也必然受到人类活动的影响^[31].

地表水中 TDS 与 K^+ 、 Na^+ 、 Ca^{2+} 、 Mg^{2+} 、 Cl^- 、 SO_4^{2-} 和 HCO_3^- 存在显著的正相关关系(P < 0.01),相关系数依次为 0.593、0.704、0.528、0.578、0.637、0.721 和 0.741.表明这些离子对 TDS 的贡献较大; HCO_3^- 与 Ca^+ 和 Mg^{2+} 具有显著的正相关关系(P < 0.01),相关系数分别为 0.744 和 0.757; 说明三者之间具有相对一致的来源; SO_4^{2-} 与 K^+ 、 Na^+ 和 Cl^- 具有显著的正相关性(P < 0.01),相关系数分别为 0.816、0.580 和 0.484; 说明蒸发岩对离子浓度具有较大的贡献; Cl^- 与 K^+ 和 Na^+ 具有显著的相关性(P < 0.01),相关系数分别为 0.539 和 0.919,推断上述两者之间主要来源一致,表明离子的浓度主要受岩盐溶解的影响; 此外, Ca^{2+} 和 Mg^{2+} 也具有显著的相关性(P < 0.01),相关系数为 0.810,表明 Ca^{2+} 和 Mg^{2+} 具有一致的来源.

表 2 研究区地下水和地表水水化学参数相关系数1)

7	Table 2 Correlation coefficients of hydrochemical parameters of groundwater and surface water in the study area											
	0	pН	TDS	K#	Na +	Ca ^{2 +}	Mg ²⁺	Cl-	SO ₄ ²⁻	HCO ₃	NO_3^-	H_2SiO_3
Cg V	pH TDS K ⁺	1 -0. 576 ** -0. 180	1 0. 191 *	36		1	У	le se	7	J		
	Na ⁺ Ca ^{2 +}	-0. 113 -0. 663 **	0. 573 ** 0. 710 **	0. 163 0. 124	1 0. 064	1						
地下水	Mg^{2+}	-0.417 **	0. 710 **	0. 284 **	0. 437 **	0.511 **	1					
	Cl - SO ₄ -	-0. 533 ** -0. 467 **	0. 750 ** 0. 685 **	0. 215 * 0. 256 **		0. 863 ** 0. 636 **	0. 594 ** 0. 606 **	0. 600 **	1			
	HCO_3^-	-0.161	0. 498 **	0.096	0. 744 **	0.056	0. 577 **	0.086	0. 279 **	1		
	NO_3^-	-0.483 **	0. 632 **	0.054	0. 345 **	0.662 **	0.417 **	0. 658 **	0. 482 **	0.099	1	
	H_2SiO_3	-0.309 **	0.071	0. 180	- 0. 094	0. 254 **	0. 024	0. 166	0. 212 *	-0.088	0.078	1
	$_{ m pH}$ TDS	1. 000 - 0. 273	1.000									
	K +	-0. 273 -0. 040	0. 593 **	1. 000								
	Na ⁺	-0. 288	0. 704 **	0. 443 *	1.000							
	Ca ²⁺	-0.186	0. 528 **		- 0. 075	1.000						
地表水	Mg^{2+}	0.095	0. 578 **	0. 202	0.059	0.810 **	1.000					
	Cl -	-0.309	0. 637 **	0. 539 **	0. 919 **	- 0. 097	0.005	1.000				
	SO_4^2 -	-0.046	0. 721 **	0. 816 **	0. 580 **	0.322	0. 331	0. 484 **	1.000			
	HCO_3^-	-0. 222	0. 741 **	0. 148	0. 394 *	0. 744 **	0. 757 **	0. 185	0. 438 *	1.000		
	NO_3^-	-0.045	0. 229	0. 636 **	0.009	0.230	0.087	0.092	0. 342	-0.036	1.000	
	H_2SiO_3	-0.537 **	0. 487 **	0. 213	0. 401 *	0.416*	0. 181	0. 268	0. 280	0. 586 **	0. 235	1.000

^{1) **} 表示在 0.01 水平显著相关, *表示在 0.05 水平显著相关

3.2 主要离子来源及成因

3.2.1 水岩相互作用机制

地下水或地表水与围岩之间的水岩相互作用可以揭示水化学演化机制^[32]. Gibbs 图可以用来定性

判断大气降雨、岩石风化和蒸发浓缩作用对地下水 离子来源的影响 $^{[32~34]}$. 从图 5 可看出,阳离子 Na $^+$ / (Na $^+$ + Ca $^{2+}$) 在 0. 14 ~ 0. 89 之间,阴离子 Cl $^-$ / (Cl $^-$ + HCO $_3^-$) 在 0. 01 ~ 0. 65 之间. 地下水和地表 水样品点位于水岩相互作用端元(岩石风化控制),表明水岩相互作用制约了淮南煤矿区地下水和地表水的水文地球化学过程,是导致研究区水化学形成的关键水文化学过程.另外部分水样点落在蒸发-浓缩端元,表明部分地下水和地表水还受到了蒸发-浓缩作用的影响,但影响远不及水岩相互作用强烈.样

品点分布远离降雨控制端元,表明大气降水对研究区内地下水和地表水主要离子来源贡献较小.本研究结论与郑涛等^[5]和袁利等^[35]在淮北平原的涡河流域中部地下水和宿州市地下水的研究结果较为一致,指示研究区地下水离子组分主要受岩石风化作用影响.

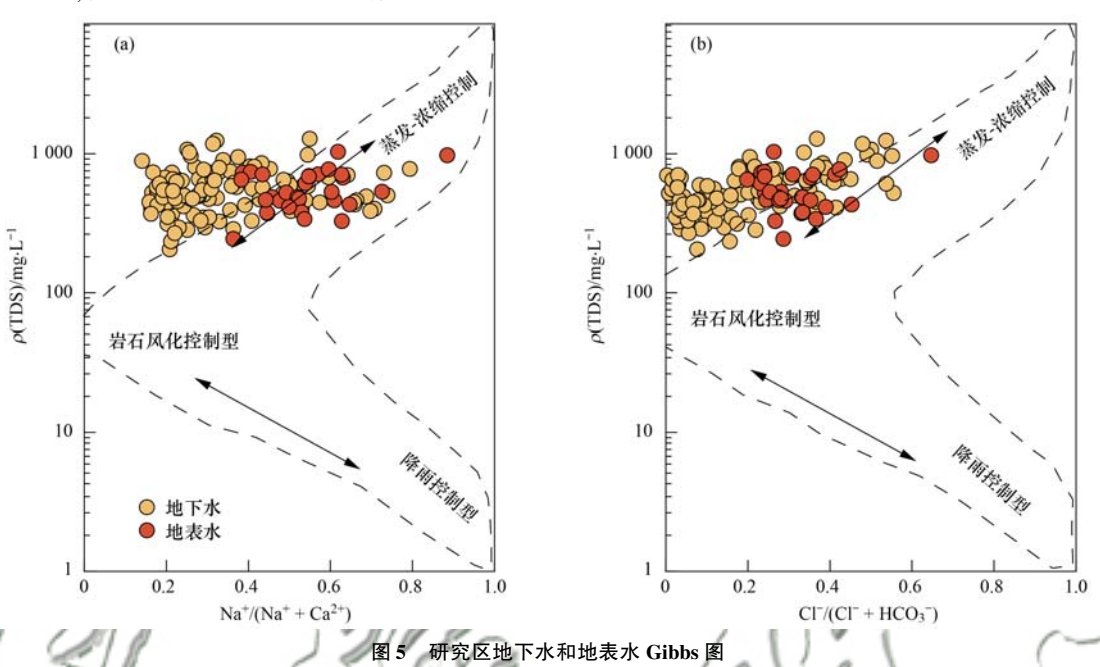


Fig. 5 Gibbs diagram of groundwater and surface water in the study area

为研究地下水和地表水系统内硅酸盐和铝硅酸盐矿物间的溶解-沉淀平衡状态,绘制了硅酸盐体系稳定场图^[36,37].绝大部分样品点落在高岭石和蒙脱石的稳定区域上(图 6),表明硅酸盐矿物风化处于第一和第二阶段^[38];SiO₂含量超过石英饱和线,但

远未达到非晶质硅饱和线,表明研究区内可能发生了钙长石、钠长石和云母等含水介质溶解,水解为高岭石和蒙脱石等黏土矿物.在地下水或地表水径流过程中除可水解为高岭石和蒙脱石等黏土矿物外,还同时产生 K⁺、Mg²⁺、Ca²⁺、Na⁺和 HCO₃⁻等

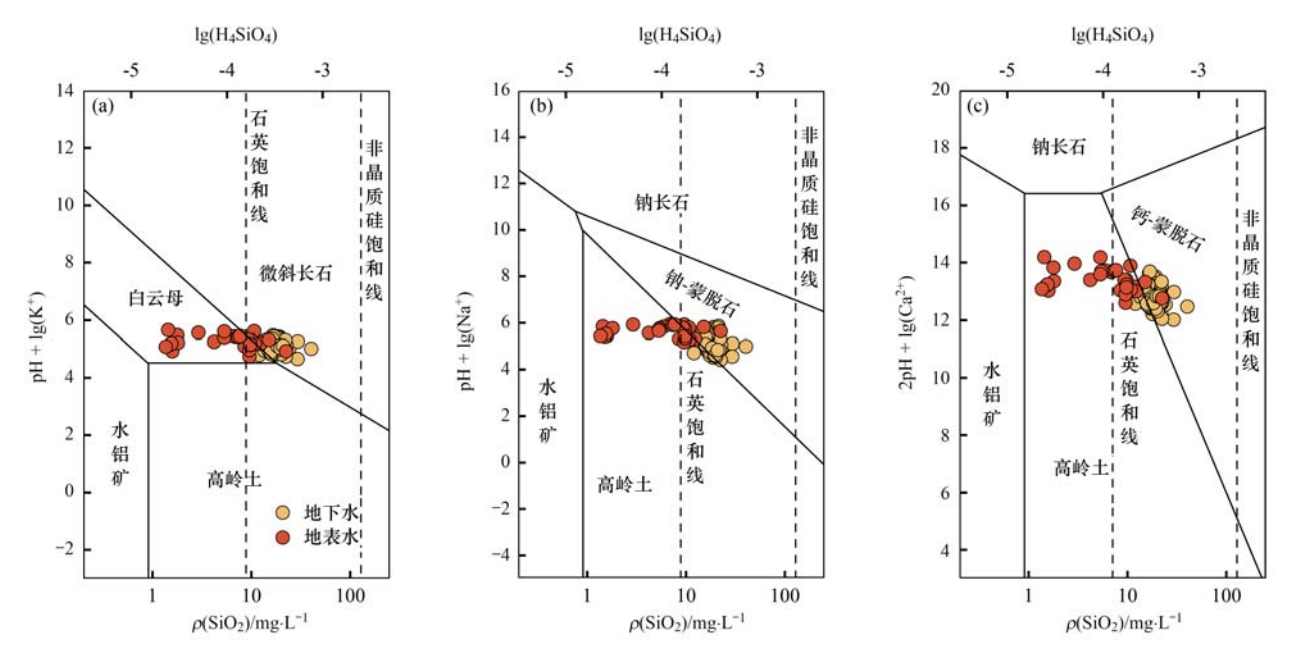


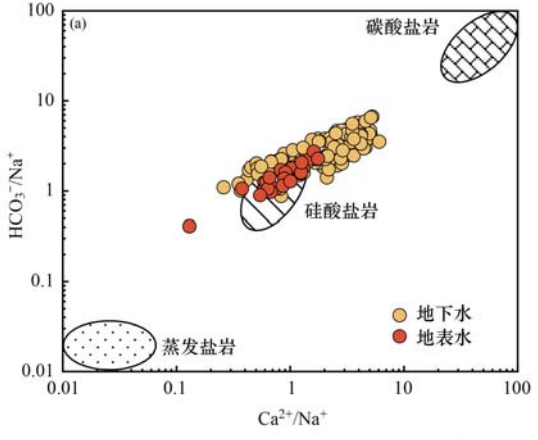
图 6 研究区地下水和地表水硅酸盐稳定场

Fig. 6 Silicate stability field groundwater and surface water in the study area

离子[36].

根据碳酸盐、硅酸盐和蒸发岩矿物风化产生的 Mg^{2+}/Na^+ 、 Ca^{2+}/Na^+ 和 HCO_3^-/Na^+ (当量浓度比值),可以表征地下水和地表水在岩石风化作用下水化学组分的变化 [5,39]. 研究区地下水和地表水样

品点主要落在硅酸盐岩端元区域(图7),少量样品点靠近蒸发盐岩端元,样品点存在向碳酸盐岩方向发展的趋势.表明硅酸盐矿物(如长石等)的风化水解作用控制着研究区水文地球化学过程,但也不能排除蒸发盐岩矿物的贡献.



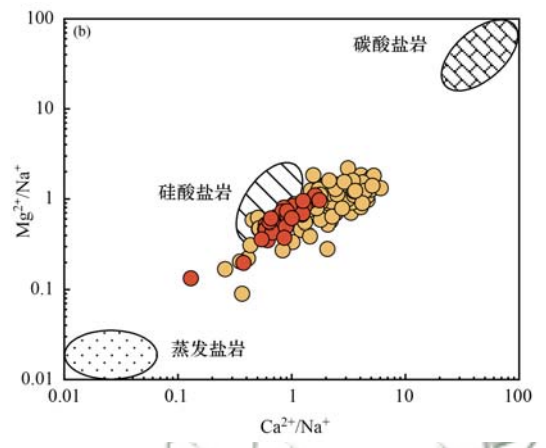


图 7 地表水和地下水 HCO₃-/Na+、Mg²⁺/Na+和 Ca²⁺/Na+关系

Fig. 7 Relationships between HCO_3^-/Na^+ , Mg^{2+}/Na^+ , and Ca^{2+}/Na^+ for surface water and groundwater

3.2.2 阳离子交替吸附

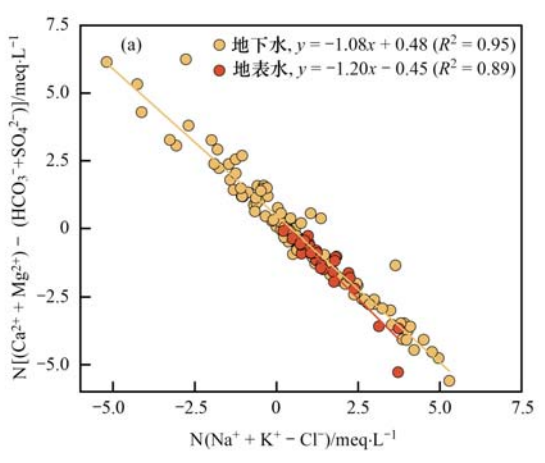
 $(Na^+ + K^+ - Cl^-)$ 与 $[(Ca^{2+} + Mg^{2+}) - (SO_4^{2-} + HCO_3^-)]$ 的当量浓度比值可以识别阳离子吸附交替作用的强度 $[^{5,40}]$. 如图 8(a)所示,研究区大部分样品点均表现出明显的负相关性,其中地下水相关系数达0.95,且斜率接近 -1. 表明淮南煤矿区地下水和地表水均发生较强程度的阳离子交替吸附作用 $[^{41}]$.

通常采用氯碱指数(CAI-1 和 CAI-2)表征地下水或地表水中阳离子交换的类型和强度,其计算公式及含义见文献[1]. 如图 8(b)所示,研究区地下水 CAI-1 在 $-134.62 \sim 0.73$ 之间,均值为 -4.39, CAI-2 介于 $-0.62 \sim 0.83$,均值为 -0.09; 地表水 CAI-1 值在 $-1.47 \sim -0.20$ 之间,均值为 -0.67, CAI-2 介于 $-0.51 \sim -0.06$,均值为 -0.23. 表明研究区地下水和地表水中的 Ca^{2+} 和 Mg^{2+} 离子置换围

岩中的 Na^+ 离子,而且地下水交替吸附作用要强于地表水 $^{[42]}$. 地表水和地下水中 Na^+ 与 $SO_4^{2^-}$ 呈显著的正相关关系(P < 0.01,表 2),硫酸盐溶解致使地下水和地表水中的 Ca^{2^+} 和 Mg^{2^+} 浓度剧增并向饱和趋势发展,但系统内剩余的 $SO_4^{2^-}$ 仍需要大量的 Ca^{2^+} 和 Mg^{2^+} 等阳离子置换 Na^+ 来维持平衡.

3.2.3 人类活动的影响

农业生产、矿产开采等人类活动产生的 SO_4^2 、 Cl^- 、 NO_3^- 和 Na^+ 等离子控制着地表水或地下水化学组分的变化. 具体表现为矿业开采活动产生较多的 $SO_4^{2^-}$,而农业生产、生活污水排放则导致 Cl^- 、 NO_3^- 和 Na^+ 等离子的富集与迁移 $^{[43]}$. 一般情况下,可采用 NO_3^-/Na^+ 与 Cl^-/Na^+ 的相关关系来评价人类活动对地下水或地表水 NO_3^- 组分的影响 $^{[44]}$.



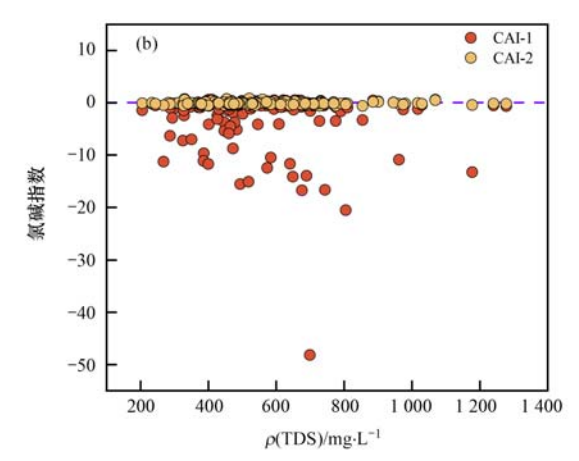
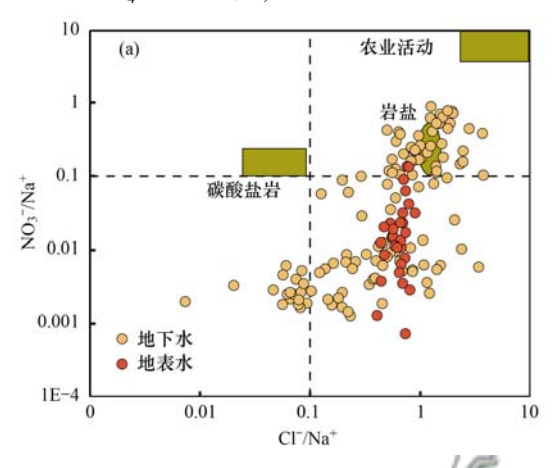


图 8 研究区地表水和地下水阳离子交替吸附作用以及氯碱指数

Fig. 8 Cation exchange and adsorption of groundwater and Chlor-alkali index of groundwater and surface water in the study area

如图 9 (a) 所示, 研究区地下水和地表水中 NO_3^-/Na^+ 与 Cl^-/Na^+ 呈一定相关关系, 而且绝大多数样品点落在农业活动影响区域, 表明研究区农业生产活动不同程度影响地下水和地表水水化学组分. 一般情况下, 农业活动具有相对较高 NO_3^-/Ca^{2+} 值和较低的 SO_4^{2-}/Ca^{2+} 值, 而矿业活动与之相

反[3,45]. 从图 9(b) 可知, 研究区地表水样品点显示出极低的 NO_3^{-}/Ca^{2+} 值和较高的 SO_4^{2-}/Ca^{2+} 值,而且绝大部分分布在图的左上区域, 表明地表水受矿业活动影响显著[5]. 而地下水则与地表水相反, 其样品点主要分布在图的右下方区域, 指示农业活动影响地下水的水化学特征.



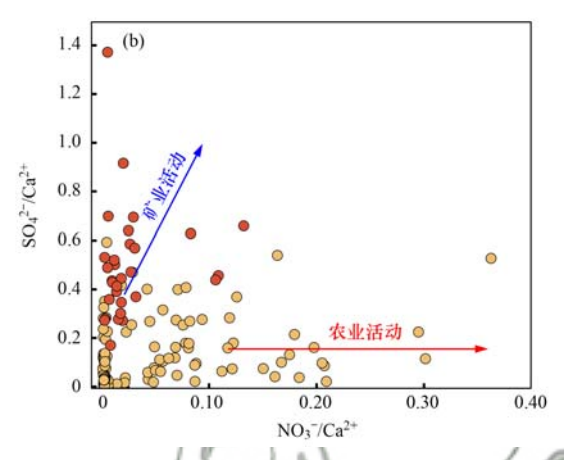


图 9 研究区地下水和地表水 NO₃ -/Na + 与 Cl -/Na + 和 SO₄ -/Ca² + 与 NO₃ -/Ca² + 关系

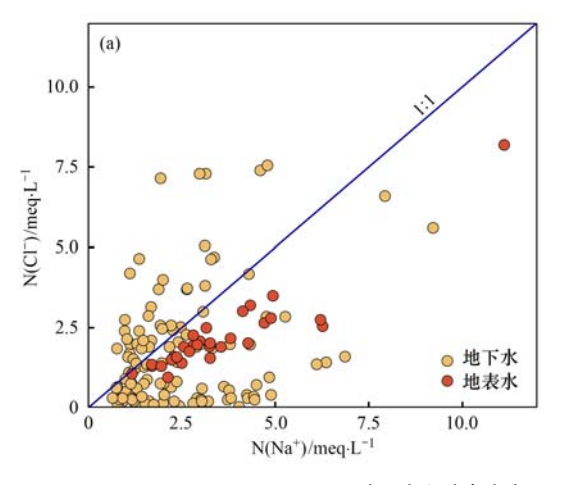
Fig. 9 Relationships of NO₃-/Na + vs. Cl -/Na + and SO₄-/Ca² + vs. NO₃-/Ca² + of groundwater and surface water in the study area

3.2.4 主要风化过程及演化机制

Na⁺的来源可以用 Na⁺和 Cl⁻的当量浓度比值来反映^[43],一般情况 Na⁺/Cl⁻>1 指示着 Na⁺源自于硅酸盐的风化溶解^[1]. 从图 10(a)可知,地表水所有样品的 Na⁺/Cl⁻均大于 1,表明地表水中的 Na⁺主要来源于硅酸盐的溶解^[46];而地下水的样品点主要分布于 1:1 直线的两侧,表明地下水中 Na⁺来源复杂,可能除受岩盐矿物和硅酸盐等矿物溶解产生外^[28],阳离子交换也具有一定的贡献^[10]. 地下水中部分样品点的 Na⁺/Cl⁻<1,可能受人为污染的影响. 从图 10(b)可见,除少量样品点外,地表水和地下水中的 Na⁺明显小于 HCO₃⁻,指示地下水或地表水中 Na⁺不足以平衡 HCO₃⁻,表明除硅酸盐矿物

溶解外,地下水和地表水中 HCO₃ 可能来自碳酸盐 岩等矿物的溶解.

根据 $Ca^{2+} + Mg^{2+}/HCO_3^-$ 与 SO_4^{2-}/HCO_3^- 的比例关系可以判断碳酸盐岩和石膏溶解对地下水和地表水化学浓度的贡献^[47]. 地下水和地表水样品点远离硫酸溶解碳酸盐岩线,样品点主要落在碳酸溶解碳酸盐岩和石膏溶解线且靠近碳酸溶解碳酸盐岩端元[图 11(a)],说明碳酸对碳酸盐岩的溶解是地下水和地表水中 Ca^{2+} 和 Mg^{2+} 的浓度. 地下水中靠近石膏溶解线样点较多,表明地下水中 Ca^{2+} 和 Mg^{2+} 绝大部分源自石膏的溶解.



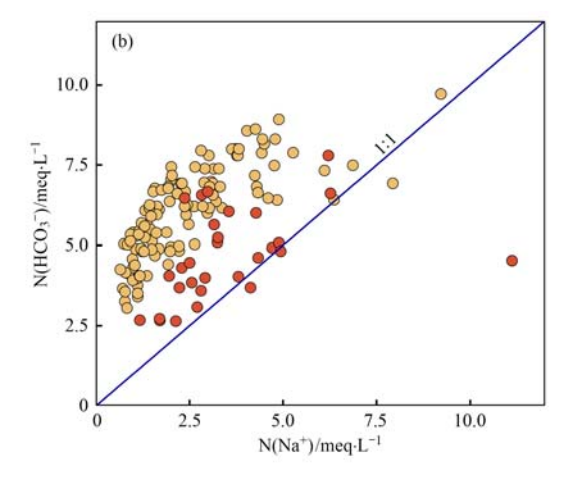


图 10 地下水和地表水中 Na + 与 Cl - 、Na + 与 HCO₃ 的关系

Fig. 10 Relationships between Na + and Cl - and Na + and HCO₃ - of groundwater and surface water

有研究表明,通过($Ca^{2+} + Mg^{2+} - HCO_3^-$)与($SO_4^{2-} - Na^+ - Cl^-$)的毫克当量浓度比值可以判定 SO_4^{2-} 是否来源于石膏的溶解[5].淮南煤矿区绝大部分地下水和地表水样品点分布于当量浓度 1:1直线

水和地表水样品点分布于当量浓度 1:1直线

2.5
(a) 硫酸风化碳酸盐岩

2.0 碳酸风华碳酸盐岩

1.0

SO₄²⁻/HCO₃

附近,指示石膏溶解为地下水和地表水中 SO_4^2 的主要来源[图 11(b)].有研究表明,研究区地层尤其是新近纪地层中存在石膏夹层,故研究区含水介质中普遍存在石膏矿物^[5].

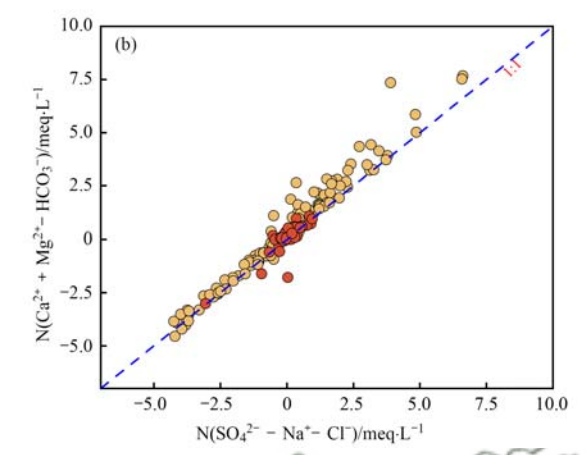


图 11 地下水和地表水中(Ca²⁺ + Mg²⁺)/HCO₃⁻与 SO₄²⁻/HCO₃⁻以及 N(Ca²⁺ + Mg²⁺ - HCO₃⁻)与 N(SO₄²⁻ - Na⁺ - Cl⁻)的关系 Fig. 11 Relationships between(Ca²⁺ + Mg²⁺)/HCO₃⁻ vs. SO₄²⁻/HCO₃⁻ and N(Ca²⁺ + Mg²⁺ - HCO₃⁻) vs. N(SO₄²⁻ - Na⁺ - Cl⁻) of groundwater and surface water

地下水地表水

3.3 水化学离子控制因素

基于 SPSS 26.0 对地表水和地下水进行主成分分析,按照特征值大于1的原则提取,地下水提取了3个主成分,地表水提取了4个主成分,累积贡献率分别为73.570%和88.911%(表3),基本解释了地下水和地表水的绝大部分信息.

地下水主成分 PC1 以 TDS、 Ca^{2+} 、 SO_4^{2-} 、 Cl^{-} 和 NO_3^- 为主,其方差贡献率为 38. 168%. 农业生产和矿业开采等人类活动加剧导致地下水中离子含量的增加 $[^{48]}$, SO_4^{2-} 和 Cl^{-} 除来自蒸发岩溶解外,人类活动也是其输入的来源 $[^{48]}$,其中 Cl^{-} 为生活污水的特征离子 $[^{48]}$,而 NO_3^- 是农业生产活动的代表性离子 $[^{44]}$,其主要来源于农业化肥等的施用. 推测 PC1 主

要反映了生活污水和农业活动等人类生产活动对地下水水化学溶质的影响. PC2 以 Na⁺、Mg²⁺和 HCO₃⁻为主,其方差贡献率为 23. 278%, HCO₃⁻与 Na⁺和 Mg²⁺具显著的正相关性(表 2), Mg²⁺主要来源于白云石等矿物的溶解,而 HCO₃⁻和 Mg²⁺为碳酸盐岩溶解的特征离子. 所以 PC2 代表了碳酸盐岩的水岩相互作用对地下水组分的影响. PC3 以 K⁺和 H₂SiO₃ 为主,其方差贡献率为 12. 123%,研究区普遍存在钠长石、钾长石等硅酸盐岩的风化(图 6),故 PC3 代表了硅酸盐岩溶解对地下水水化学组分的影响.

地表水与地下水主成分略有不同. 地表水主成分 PC1 以 Ca^{2+} 、 Mg^{2+} 和 HCO_3^- 为主,其方差贡献率为28. 021%,且两两之间具有显著的相关性(表2),

表 3 研究区地下水和地表水旋转成分¹⁾
Table 3 Rotational composition of groundwater and surface water in the study area

				主成分					
指标	:	地下水(n=115)		地表水(n=30)					
	PC1	PC2	PC3	PC1	PC2	PC3	PC4		
рН	-0.710	-0.035	-0.295	0. 027	-0.145	0. 021	-0.890		
TDS	0.766	0. 532	0. 053	0.600	0. 684	0. 227	0. 200		
K +	0.024	0. 253	0.767	0. 152	0. 513	0.804	-0.054		
Na ⁺	0. 166	0. 875	-0.042	0.042	0. 957	-0.014	0. 219		
Ca ^{2 +}	0. 942	-0.031	0. 128	0.893	-0.138	0. 248	0. 210		
Mg ^{2 +}	0. 538	0. 615	0. 169	0. 939	0.044	0.055	-0.130		
Cl -	0. 883	0. 148	0. 102	-0.084	0. 924	0.098	0. 180		
SO_4^{2} -	0. 659	0. 382	0. 266	0.356	0. 641	0.514	-0.074		
HCO ₃	0. 025	0. 909	0.005	0.879	0. 279	-0.107	0. 281		
NO_3^-	0.806	0. 129	-0.131	0.012	-0.059	0. 927	0. 134		
H_2SiO_3	0. 198	-0. 240	0.714	0. 332	0. 196	0. 148	0. 787		
特征值	4. 199	2. 561	1. 334	3. 082	3. 071	1. 929	1. 698		
贡献率/%	38. 168	23. 278	12. 123	28. 021	27. 914	17. 539	15. 437		
累积贡献率/%	38. 168	61. 446	73. 570	28. 021	55. 935	73. 474	88. 911		

¹⁾黑体字表示主要影响指标

从地下水 Piper 三线图可知(图4),地表水水化学类 型主要以 HCO₃-Ca·Mg 型为主,表明地表水受水岩 相互作用影响,而且 HCO3、Ca2+和 Mg2+为碳酸盐 岩溶解的特征离子,故地表水的 PC1 代表了碳酸盐 岩的水岩相互作用对地表水的影响. PC2 主要以 TDS、Na⁺、Cl⁻和SO²⁻为主,其方差贡献率为 27.914%,根据离子比值及相关关系可知(图 10 和 图 11), 地表水化学组分受岩盐的控制, 所以 PC2 主 要反映了人类活动影响下的岩盐水岩相互作用. PC3 主要以 K+和 NO; 为主,其方差贡献率为 17.539%,且两者具有显著的正相关性(表2),K⁺和 NO; 多源于农业氮肥的施用、生活污水及人畜粪 便排放等[49],而研究区农业生产以施用氮肥、磷 肥、钾肥和复合肥为主,故 PC3 代表了农业活动等 人类活动对地表水的影响. PC4 主要以 H,SiO, 为 主,其方差贡献率为15.437%,与地下水类似,PC4 代表了硅酸盐岩溶解对地表水水化学组分的影响.

4 结论

- (1)淮南煤矿区地下水和地表水 pH 在 $7.27 \sim 8.58$ 之间,整体呈弱碱性. ρ (TDS)介于 $204.98 \sim 1.278$. 12 mg·L^{-1} ,属淡水. 地下水优势阳离子和阴离子分别为 Ca^{2+} 和 HCO_{3}^{-} ,水化学以 HCO_{3} -Ca 型为主,水化学类型由 Cl-Ca·Na \rightarrow HCO_{3} -Ca·Mg \rightarrow HCO_{3} -Na 的逐渐演变趋势;地表水优势阳离子和阴离子分别为 Na^{+} 与 Ca^{2+} 和 HCO_{3}^{-} ,水化学类型以 HCO_{3} -Ca·Mg 为主,水化学类型由 HCO_{3} -Ca \rightarrow Cl-Na 逐渐演变趋势.
- (2)淮南煤矿区地下水和地表水化学组分受岩石风化控制、矿物溶解、阳离子交替吸附和人类活动等因素的共同制约.碳酸岩盐溶解是 Ca^{2+} 、 Mg^{2+} 和 HCO_3^- 等离子的主要来源;蒸发岩(如岩盐、硫酸盐等)溶解对 Na^+ 和 Cl^- 、 Ca^{2+} 和 SO_4^{2-} 有不同程度的贡献,人类活动造成的外源输入对 Cl^- 、 SO_4^{2-} 、 NO_3^- 和 Ca^{2+} 造成一定的影响. 且地下水受人类活动影响较大.
- (3)淮南煤矿区地下水中 Ca^{2+} 、 SO_4^{2-} 、 Cl^- 和 NO_3^- 受生活污水、农业活动等人类活动影响, Na^+ 、 Mg^{2+} 和 HCO_3^- 主要来源于碳酸盐岩的水岩相互作用, K^+ 和 H_2SiO_3 源于硅酸盐岩溶解. 地表水中 Ca^{2+} 、 Mg^{2+} 和 HCO_3^- 碳酸盐岩的水岩相互作用,TDS、 Na^+ 、 Cl^- 和 SO_4^{2-} 源自于人类活动影响下的岩盐水岩相互作用, K^+ 和 NO_3^- 来源于农业活动、生活污水等人类活动, H_2SiO_3 主要来源于硅酸盐岩溶解.

参考文献:

- [1] 陈京鹏, 蒋书杰, 杨询昌, 等. 大沽河流域上游水化学特征 及其控制因素研究[J]. 地质论评, 2022, **68**(5): 1853-1862
 - Chen J P, Jiang S J, Yang X C, et al. Study on hydrochemical characteristics and controlling factors of the upper reach of Dagu River Basin [J]. Geological Review, 2022, 68(5): 1853-1862.
- [2] 彭红霞, 侯清芹, 曾敏, 等. 雷州半岛地下水化学特征及控制因素分析[J]. 环境科学, 2021, **42**(11): 5375-5383.

 Peng H X, Hou Q Q, Zeng M, *et al.* Hydrochemical characteristics and controlling factors of groundwater in the Leizhou Peninsula[J]. Environmental Science, 2021, **42**(11): 5375-5383
- [3] 涂春霖, 尹林虎, 和成忠, 等. 珠江源区小黄泥河流域地表水水化学组成特征及控制因素 [J]. 环境科学, 2022, **43** (4): 1885-1897.
 Tu C L, Yin L H, He C Z, *et al.* Hydrochemical composition
 - Tu C L, Yin L H, He C Z, et al. Hydrochemical composition characteristics and control factors of Xiaohuangni River Basin in the upper Pearl River [J]. Environmental Science, 2022, 43 (4): 1885-1897.
- [4] 李书鉴, 韩晓, 王文辉, 等. 无定河流域地表水地下水的水 化学特征及控制因素[J]. 环境科学, 2022, **43**(1): 220-229.
 - Li S J, Han X, Wang W H, et al. Hydrochemical characteristics and controlling factors of surface water and groundwater in Wuding River Basin[J]. Environmental Science, 2022, 43(1): 220-229.
- [5] 郑涛, 焦团理, 胡波, 等. 涡河流域中部地区地下水化学特征及其成因分析[J]. 环境科学, 2021, **42**(2): 766-775.

 Zheng T, Jiao T L, Hu B, *et al.* Hydrochemical characteristics and origin of groundwater in the central Guohe River Basin[J]. Environmental Science, 2021, **42**(2): 766-775.
- [6] 周嘉欣, 丁永建, 曾国雄, 等. 疏勒河上游地表水水化学主 离子特征及其控制因素[J]. 环境科学, 2014, **35**(9): 3315-3324.
 - Zhou J X, Ding Y J, Zeng G X, et al. Major ion chemistry of surface water in the upper reach of Shule River Basin and the possible controls [J]. Environmental Science, 2014, 35 (9): 3315-3324.
- [7] 赵春红, 申豪勇, 王志恒, 等. 汾河流域地表水水化学同位素特征及其影响因素[J]. 环境科学, 2022, **43**(10): 4440-4448.
 - Zhao C H, Shen H Y, Wang Z H, et al. Hydrochemical and isotopic characteristics in the surface water of the Fenhe River Basin and influence factors $[\,J\,]$. Environmental Science, 2022, 43(10): 4440-4448.
- [8] 王建,张华兵,许君利,等. 盐城地区地表水化学空间特征及控制因素分析[J]. 环境科学, 2021, **42**(10): 4772-4780. Wang J, Zhang H B, Xu J L, *et al.* Spatial hydrochemical characteristics and controlling factors of surface water in the Yancheng area [J]. Environmental Science, 2021, **42**(10): 4772-4780.
- [9] 崔玉环,王杰,刘友存,等.升金湖河湖交汇区地表-地下水水化学特征及成因分析[J].环境科学,2021,42(7):3223-3231.
 - Cui Y H, Wang J, Liu Y C, et al. Hydro-chemical characteristics and ion origin analysis of surface groundwater at the Shengjin Lake and Yangtze River interface [J]. Environmental Science, 2021, 42(7): 3223-3231.
- [10] 崔佳琪,李仙岳,史海滨,等.河套灌区地下水化学演变特征及形成机制[J].环境科学,2020,41(9):4011-4020.

- Cui J Q, Li X Y, Shi H B, *et al.* Chemical evolution and formation mechanism of groundwater in Hetao irrigation area[J]. Environmental Science, 2020, **41**(9): 4011-4020.
- [11] 鲁涵,曾妍妍,周金龙,等.新疆祁漫塔格地区地下水化学特征及成因分析[J].水资源与水工程学报,2022,33(2):85-92.
 - Lu H, Zeng Y Y, Zhou J L, et al. Hydrochemical characteristics of the groundwater in Qimantage area of Xinjiang and the formation causes $[\ J\]$. Journal of Water Resources & Water Engineering, 2022, 33(2): 85-92.
- [12] Fan B L, Zhao Z Q, Tao F X, et al. Characteristics of carbonate, evaporite and silicate weathering in Huanghe River Basin: a comparison among the upstream, midstream and downstream[J]. Journal of Asian Earth Sciences, 2014, 96: 17-26.
- [13] Li Z, Xiao J, Evaristo J, et al. Spatiotemporal variations in the hydrochemical characteristics and controlling factors of streamflow and groundwater in the Wei River of China [J]. Environmental Pollution, 2019, 254, doi: 10.1016/j.envpol.2019.113006.
- [14] Wang Y H, Li P Y. Appraisal of shallow groundwater quality with human health risk assessment in different seasons in rural areas of the Guanzhong Plain (China) [J]. Environmental Research, 2022, 207, doi: 10.1016/j.envres.2021.112210.
- [15] Qu S, Duan L M, Shi Z M, et al. Hydrochemical assessments and driving forces of groundwater quality and potential health risks of sulfate in a coalfield, northern Ordos Basin, China[J]. Science of the Total Environment, 2022, 835, doi: 10.1016/j. scitotenv. 2022. 155519.
- [16] Zhang Y H, Dai Y S, Wang Y, et al. Hydrochemistry, quality and potential health risk appraisal of nitrate enriched groundwater in the Nanchong area, Southwestern China [J]. Science of the Total Environment, 2021, 784, doi: 10.1016/j. scitotenv. 2021.147186.
- [17] Zhong C H, Wang H, Yang Q C. Hydrochemical interpretation of groundwater in Yinchuan Basin using self-organizing maps and hierarchical clustering [J]. Chemosphere, 2022, 309, doi: 10. 1016/j. chemosphere. 2022. 136787.
- [18] Rahman A T M S, Kono Y, Hosono T. Self-organizing map improves understanding on the hydrochemical processes in aquifer systems[J]. Science of the Total Environment, 2022, 846, doi: 10.1016/j.scitotenv.2022.157281.
- [19] 张俊,李余生,林曼利,等.淮南张集矿水文地球化学特征及水源识别[J].水文地质工程地质,2014,41(6):32-37,50.
 - Zhang J, Li Y S, Lin M L, *et al.* Hydrogeochemistry characteristics and source identification: a case study in the Zhangji coal mine in Huainan [J]. Hydrogeology & Engineering Geology, 2014, **41**(6): 32-37, 50.
- [20] 汪子涛, 刘启蒙, 刘瑜. 淮南煤田地下水水化学空间分布及 其形成作用[J]. 煤田地质与勘探, 2019, 47(5): 40-47. Wang Z T, Liu Q M, Liu Y. Spatial distribution and formation of groundwater hydrochemistry in Huainan coalfield [J]. Coal Geology & Exploration, 2019, 47(5): 40-47.
- [21] 黄望望,姜春露,陈星,等. 淮南新集矿区主要充水含水层水化学特征及成因[J]. 地球与环境,2020,48(4):432-442.

 Huang W W, Jiang C L, Chen X, et al. Chemical characteristics and genesis of deep groundwater in the Xinji mining area[J]. Earth and Environment, 2020,48(4):432-442.
- [22] 杨婷婷, 许光泉, Anesu M. 淮南潘谢矿区岩溶水化学特征及 其形成机制研究 [J]. 地球与环境, 2021, **49**(3): 238-

249.

Yang T T, Xu G Q, Anesu M. Chemical composition of karst groundwater of Panxie coal mining area in Huainan and its formation mechanism [J]. Earth and Environment, 2021, 49 (3): 238-249.

44 卷

- [23] 柴义伦. 淮南矿区矿山地质环境影响评价方法探讨[J]. 安徽地质, 2018, 28(4): 299-302.
 Chai Y L. Discussion on assessment method of mine geoenvironment impact in the Huainan mining area[J]. Geology of Anhui, 2018, 28(4): 299-302.
- [24] 蒙琪. 石羊河流域中下游浅层地下水水化学特征及其成因 [J]. 干旱区资源与环境, 2021, **35**(3): 80-87. Meng Q. Hydrochemical characteristics and controlling factors of the shallow groundwater in the midstream and downstream areas of Shiyang River Basin [J]. Journal of Arid Land Resources and Environment, 2021, **35**(3): 80-87.
- [25] Piper A M. A graphic procedure in the geochemical interpretation of water-analyses [J]. Eos, Transactions American Geophysical Union, 1944, 25(6): 914-928.
- [26] 杨锐,周金龙,魏兴,等.新疆和田东部平原区地下水化学特征及演化规律[J]. 环境化学,2022,41(4):1367-1379. Yang R, Zhou J L, Wei X, et al. Hydrochemical characteristics and evolution of groundwater in the eastern plain of Hotian Prefecture, Xinjiang[J]. Environmental Chemistry, 2022,41 (4):1367-1379.
- [27] 何锦,张幼宽,赵雨晴,等.鲜水河断裂带虾拉沱盆地断面地下水化学特征及控制因素[J].环境科学,2019,40(3):1236-1244.

 He J, Zhang Y K, Zhao Y Q, et al. Hydrochemical characteristics and possible controls of groundwater in the Xialatuo Basin section of the Xianshui river[J]. Environmental
- [28] 张涛, 蔡五田, 李颖智, 等. 尼洋河流域水化学特征及其控制因素[J]. 环境科学, 2017, 38(11): 4537-4545.

 Zhang T, Cai W T, Li Y Z, et al. Major ionic features and their possible controls in the water of the Niyang River Basin [J]. Environmental Science, 2017, 38(11): 4537-4545.

Science, 2019, 40(3): 1236-1244.

- [29] Wu X, Zheng Y, Zhang J, et al. Investigating hydrochemical groundwater processes in an inland agricultural area with limited data; a clustering approach [J]. Water, 2017, 9(9), doi: 10. 3390/w9090723
- [30] 罗进,安艳玲,吴起鑫,等. 赤水河中下游冬季河水化学空间分布特征分析[J]. 地球与环境,2014,42(3):297-305. Luo J, An Y L, Wu Q X, et al. Spatial distribution of surface water chemical components in the middle and lower reaches of the Chishui River Basin[J]. Earth and Environment, 2014, 42(3):297-305.
- [31] 魏善明, 丁冠涛, 袁国霞, 等. 山东省东汶河沂南地区地下水水化学特征及形成机理[J]. 地质学报, 2021, 95(6): 1973-1983.

 Wei S M, Ding G T, Yuan G X, et al. Hydrochemical characteristics and formation mechanism of groundwater in Yi'nan, east Wenhe River Basin in Shandong Province[J]. Acta Geologica Sinica, 2021, 95(6): 1973-1983.
- [32] Gibbs R J. Mechanisms controlling world water chemistry [J]. Science, 1970, 170(3962): 1088-1090.
- [33] Li Z J, Yang Q C, Yang Y S, et al. Isotopic and geochemical interpretation of groundwater under the influences of anthropogenic activities [J]. Journal of Hydrology, 2019, 576: 685-697.
- [34] Marandi A, Shand P. Groundwater chemistry and the Gibbs

- diagram [J]. Applied Geochemistry, 2018, 97: 209-212.
- [35] 袁利, 蒋少杰, 汪定圣, 等. 宿州市城区地下水化学特征及成因机制研究[J]. 地质论评, 2022, **68**(4): 1555-1566. Yuan L, Jiang S J, Wang D S, *et al.* Study on hydrochemical characteristics and formation of groundwater in urban district of Suzhou[J]. Geological Review, 2022, **68**(4): 1555-1566.
- [36] 刘海,康博,沈军辉. 基于反向地球化学模拟的地下水形成作用:以安徽省泗县为例[J]. 现代地质, 2019, 33(2): 440-450.

 Liu H, Kang B, Shen J H. Formation of groundwater based on inverse geochemical modeling: a case study from the Sixian County, Anhui Province[J]. Geoscience, 2019, 33(2): 440-450.
- [37] Tardy Y. Characterization of the principal weathering types by the geochemistry of waters from some European and African crystalline massifs[J]. Chemical Geology, 1971, 7(4): 253-271
- [38] 张宏鑫, 吴亚, 罗炜宇, 等. 雷州半岛岭北地区地下水水文地球化学特征[J]. 环境科学, 2020, 41(11): 4924-4935.

 Zhang H X, Wu Y, Luo W Y, et al. Hydrogeochemical investigations of groundwater in the Lingbei area, Leizhou Peninsula[J]. Environmental Science, 2020, 41(11): 4924-4935.
- [39] Gaillardet J, Dupré B, Louvat P, et al. Global silicate weathering and CO₂ consumption rates deduced from the chemistry of large rivers[J]. Chemical Geology, 1999, 159 (1-4) · 3-30.
- [40] Wu Y, Luo Z H, Luo W, et al. Multiple isotope geochemistry and hydrochemical monitoring of karst water in a rapidly urbanized region[J]. Journal of Contaminant Hydrology, 2018, 218: 44-58.
- [41] 唐春雷,郑秀清,梁永平. 龙子祠泉域岩溶地下水水化学特征及成因[J]. 环境科学, 2020, **41**(5): 2087-2095.

 Tang C L, Zheng X Q, Liang Y P. Hydrochemical characteristics and formation causes of ground karst water systems in the Longzici spring catchment [J]. Environmental Science, 2020, **41**(5): 2087-2095.
- [42] 余冲, 徐志方, 刘文景, 等. 韩江流域河水地球化学特征与硅酸盐岩风化——风化过程硫酸作用[J]. 地球与环境, 2017, 45(4): 390-398.

 Yu C, Xu Z F, Liu W J, et al. River water geochemistry of Hanjiang River, implications for silicate weathering and sulfuric acid participation[J]. Earth and Environment, 2017, 45(4):

390-398.

1565-1572.

- [43] 吕婕梅, 安艳玲, 吴起鑫, 等. 贵州清水江流域丰水期水化学特征及离子来源分析[J]. 环境科学, 2015, 36(5): 1565-1572.

 Lü J M, An Y L, Wu Q X, et al. Hydrochemical characteristics and sources of Qingshuijiang River Basin at wet season in Guizhou Province [J]. Environmental Science, 2015, 36(5):
- [44] 杨芬, 高柏, 葛勤, 等. 信江流域地下水水化学特征及形成机制[J]. 科学技术与工程, 2021, **21**(9): 3505-3512. Yang F, Gao B, Ge Q, *et al.* Hydro-chemical characteristics and formation mechanism of groundwater in Xinjiang River Basin[J]. Science Technology and Engineering, 2021, **21**(9): 3505-3512.
- [45] 丁贞玉,马金珠,何建华. 腾格里沙漠西南缘地下水水化学 形成特征及演化[J]. 干旱区地理, 2009, **32**(6): 948-957. Ding Z Y, Ma J Z, He J H. Geochemical evolution of groundwater in the southwest of Tengger Desert, NW of China [J]. Arid Land Geography, 2009, **32**(6): 948-957.
- [46] 余伟,杨海全,郭建阳,等. 贵州草海水化学特征及离子来源分析[J]. 地球与环境, 2021, **49**(1): 32-41. Yu W, Yang H Q, Guo J Y, *et al.* Hydrochemical characteristics and major ion sources of lake Caohai in Guizhou Province[J]. Earth and Environment, 2021, **49**(1): 32-41.
- [47] 贾超, 王丛, 刘森, 等. 济南西部冲积平原地下水水文地球化学特征研究[J]. 水利水电技术(中英文), 2022, **53**(3): 49-60.

 Jia C, Wang C, Liu S, *et al.* Study on hydrogeochemical characteristics of groundwater in the alluvial plain of western Ji'nan [J]. Water Resources and Hydropower Engineering, 2022, **53**(3): 49-60.
- [48] 张亚丽, 张依章, 张远, 等. 浑河流域地表水和地下水氮污染特征研究[J]. 中国环境科学, 2014, **34**(1): 170-177.

 Zhang Y L, Zhang Y Z, Zhang Y, *et al.* Characteristics of nitrate in surface water and groundwater in the Hun River Basin [J]. China Environmental Science, 2014, **34**(1): 170-177.
- [49] 吕晓立,刘景涛,韩占涛,等. 城镇化进程中珠江三角洲高 锰地下水赋存特征及成因[J]. 环境科学, 2022, **43**(10): 4449-4458.
 - Lü X L, Liu J T, Han Z T, et al. Characteristics and causes of high-manganese groundwater in Pearl River Delta during urbanization [J]. Environmental Science, 2022, 43(10): 4449-4458.

HUANJING KEXUE

Environmental Science (monthly)

Vol. 44 No. 11 Nov. 15, 2023

CONTENTS

Elucidating the Impacts of Meteorology and Emission Changes on Concentrations of Major Air Pollutants in Major Cities in the Yangtz Method	River Delta Region Using a Machine Learning De-weather
Impact of Emission Reduction in Different Sectors on Air Quality and Atmospheric Temperature in Eastern China Analysis of Spatio-temporal Characteristics of Air Quality, Meteorological Impact, and Emission Reduction Effect During the Winter of China C	
Analysis of Spatio-temporal Characteristics of Air Quanty, meteorological impact, and Emission reduction Effect During the winter	Olympics in beijing-franjin-rieber and its Surrounding Areas
Emission Trends and Reduction Potential of VOCs from Printing Industry in China	LIANG Xiao-ming WII Peng-zhen CHEN Lai-guo et al. (5015)
Analysis of VOCs Emission Characteristics and Emission Reduction Potential of Typical Industries in Jinan, China	
Pollution Characteristics and Source Apportionment of Volatile Organic Compounds in Lishui Area of Nanjing	
Spatio-temporal Change in City-level Greenhouse Gas Emissions from Municipal Solid Waste Sector in China During the Last Decade	and Its Potential Mitigation
· · · · · · · · · · · · · · · · · · ·	···· ZHANG Ting-xue, GAO Shu-dan, TENG Xiao, et al. (5946)
Spatiotemporal Distribution Characteristics of Air Pollution and Health Risks in Key Cities of China	TU Pei-yue, YANG Huan, CHEN Lan-zhou, et al. (5954)
Spatial and Temporal Variations in PM ₁ Concentration and its Correlation with AOD in China from 2014 to 2017	
Characteristics and Generation Mechanism of Secondary Inorganic Ions in PM _{2,5} in Changsha-Zhuzhou-Xiangtan City Group	······ MA Jie-li, LUO Da-tong, LIU Xin, et al. (5975)
Characteristics and Cause of PM _{2.5} During Haze Pollution in Winter 2022 in Zhoukou, China ·····	MA Ying-ge, YANG Lu, DI Rui-miao, et al. (5986)
Characterization and Source Apportionment of Polycyclic Aromatic Hydrocarbons in PM _{2,5} in Lanzhou	
Characteristics of Atmospheric Dust Fall Pollution and Its Chemical Composition and Mass Reconstruction in Mentougou District of Be	
Ozone Pollution Characteristics and Formation Mechanism in a Typical Tropical Seaside City	
Hydrochemical Characteristics and Control Factors of Surface Water in Kuaize River Basin at the Upper Pearl River	
Hydrochemical Characteristics and Control Factors of Surface Water and Groundwater in Huainan Coal Mine Area	
Hydrochemical Characteristics and Pollution Source Identification of Groundwater in Plain Area of Barkol-Yiwu Basin	
Identification of Nitrate Source and Transformation Process in Shallow Groundwater Around Dianchi Lake Analysis of Influencing Factors on the Accumulation and Distribution of Heavy Metals in Soil of a Typical Lead-zinc Mine Watershed	
Heavy Metal Pollution and Health Risk Assessment in Karst Basin Around a Lead-Zinc Mine	
Spatial and Temporal Distribution Characteristics of Heavy Metals in Main Rivers Sediments and Ecological Risk Assessment in Kaife	
Spatial and reinford Distribution Characteristics of freaty inclais in main tivers occuments and Ecological first Assessment in Kane	DING Va-neng III Vi-hao WANG Vigo-iing et al. (6005)
Evaluation and Prediction of Environmental Capacities of Heavy Metals in the Surface Sediments of Lakes in Huoqiu County	
Metabarcoding Profiling of Phytoplankton Communities Associated with Algal Blooms and Determining Related Drivers in Baiyangdian	
Driving Factors Analyze of Phytoplankton Community by Comparison of Population and Functional Groups and Water Quality Evaluati	on in Dongting Lake
	····· YAN Guang-han, YIN Xue-yan, WANG Xing, et al. (6125)
Distribution Characteristics and Environmental Driving Factors of Cyanobacteria Community in Impounded Lakes and Reservoirs in Sh	nandong on the East Route of South-to-North Water Diversion
Project ·····	WEI Jie-lin, CUI Yu-jing, LI Yi-zhen, et al. (6137)
Characteristics and Ecological Risk Assessment of Pharmaceutical Active Compounds in Guangdong Province	
Characteristics of Microplastic-derived Dissolved Organic Matter (MPDOM) and the Complexation Between MPDOM and Sulfadiazine	/Cu ^{2 +}
7	WANG Xiao, YAN Cai-xia, NIE Ming-hua, et al. (6159)
Photodegradation of Plastic Blends in Seawater and Its Risk to the Marine Environment	
Preparation of Iron-improved Blue Algae Biochar and Its Co-adsorption Mechanism for Phosphorus in Surface Water	
Estimation and Critical Source Area Identification of Non-point Source Pollution Based on Improved Export Coefficient Models: A Cas	se Study of the Upper Beiyun River Basin
Classic Charles and Charles and International Weather	
Characteristics of Bacterial Community Structure in the Sediment of Rural Black and Odorous Water Bodies	
impacts of numan Activities on the iver rinnary rootactivity of vegetation in Chengde's transitional negion from rialeau to riain in	
Meta-analysis on the Effects of Nitrogen Addition on Soil Organic Carbon Content in Terrestrial Ecosystems	
Effects of Biochar Application on Soil Organic Nitrogen Component and Active Nitrogen in Eucalyptus Plantations After Five Years in	
2 december	
Response of Organic Carbon Mineralization to Nitrogen Addition in Micro-aerobic and Anaerobic Layers of Paddy Soil	
Effects of Conservation Tillage on Herbicide Residues in Maize Field Soil	
Research Progress on Toxicity of Microplastics in Soil to Terrestrial Plants and Their Degradation Mechanism	LIU Wei, LI Yu-xin, RONG Sa-shuang, et al. (6267)
Distribution Characteristics and Risk Assessment of Microplastics in Soil in Danjiangkou Reservoir Area of South-to-North Water Dive	rsion Project ·····
Accumulation Characteristics, Sources, and Health Risks of Soil Lead of Urban Parks in Beijing	
Vertical Migration Characteristics and Fate of Heavy Metals from Zinc Smelting Slag in Soil Profile	
Ecological Risk Assessment and Migration and Accumulation Characteristics of Heavy Metals in Farmland Soil-crop System from Typic	cal Pyrite Mining Area ·····
Interaction and Transport Characteristics of Lead and Cadmium in Different Soil-wheat Systems	
Distribution and Transport of Cadmium and Arsenic in Different Aboveground Parts of Wheat After Flowering	
Effects of Vegetation Types and Seasonal Dynamics on the Diversity and Function of Soil Bacterial Communities in the Upper Reaches	S OF THE THEIRE KIVET
Ecological Responses of Soil Bacterial Communities to Heavy Metal Contamination Surrounding a Typical Coal-based Industrial Region	
Ecological Responses of Soil Bacterial Communities to Heavy Metal Contamination Surrounding a Typical Coal-based Industrial Region Effects of Aeration Methods on Microbial Diversity and Community Structure in Rice Rhizosphere	
Response of Nitrification Potential and Ammonia Oxidation Microbial Community in Purple Soils to the Application of Biochar Combination o	
Response of Puttingation Potential and Alimonia Oxfoation auctorial Community in Putple Sons to the Application of Diochar Community	LI Yue, WANG Zi-fang, IIA Li-inan et al. (6377)
Effect of Continuous Cropping on the Physicochemical Properties, Microbial Activity, and Community Characteristics of the Rhizosph	ere Soil of Codonopsis pilosula
2 Income of community characteristics of the transcent	
Effect of Manure Application on the Adsorption of Antibiotics to Soil	······ LUO Shan, HU Jin-sheng, TANG Xiang-yu, et al. (6399)
Relationship Between Carbon Emissions and Economic Development of Industrial Parks Based on Decoupling Index · · · · · · · · · · · · · · · · · · ·	
Chantain of Marini Schill Water School Library and Date Fire Very	WANC VI. L. THEA THONG H.: 4 J (6421)